

Fig. 1

| | |
|-----------|----------------|
| APPROVED | O.G. FIG. |
| BY | CLASS SUBCLASS |
| DRAFTSMAN | |

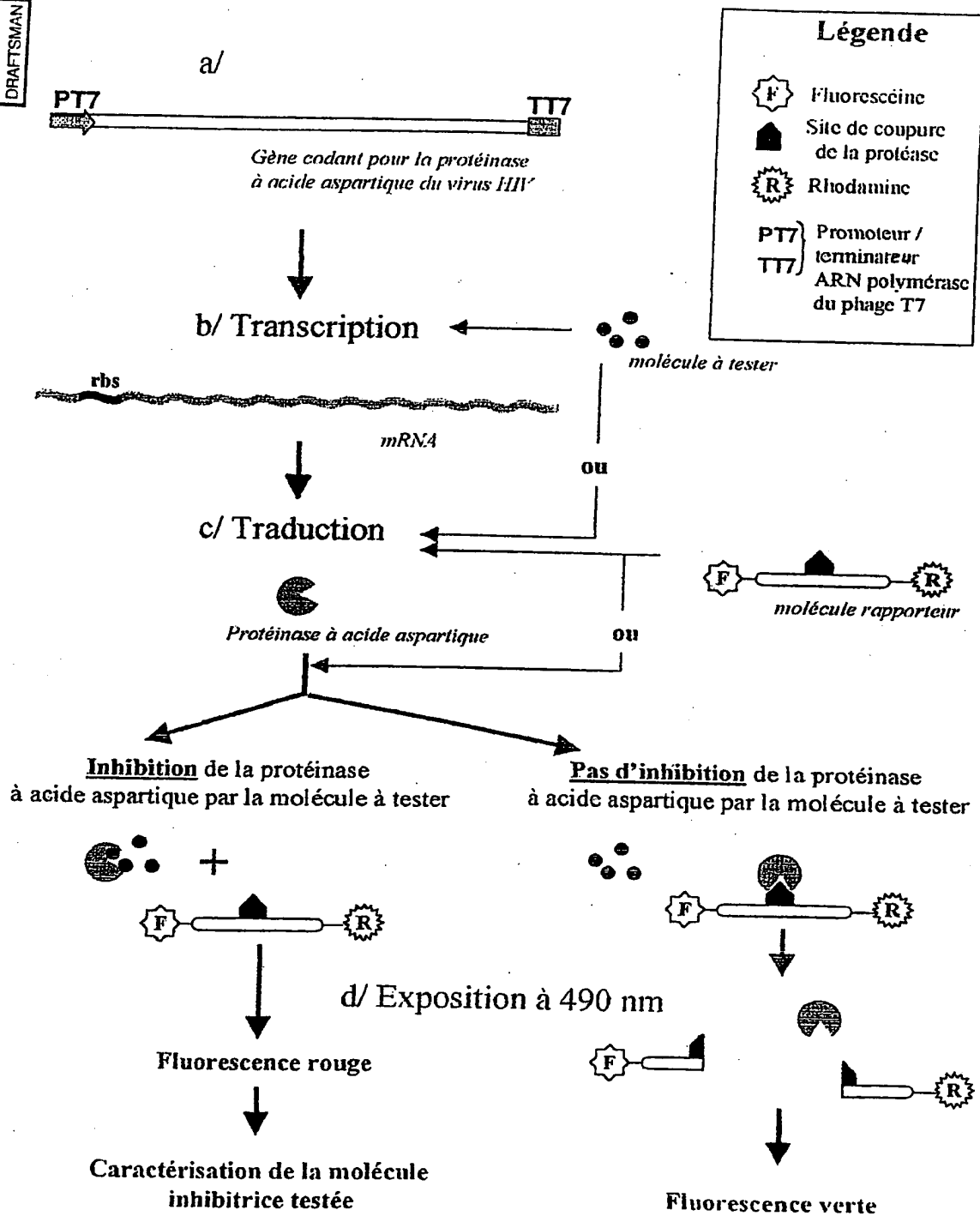
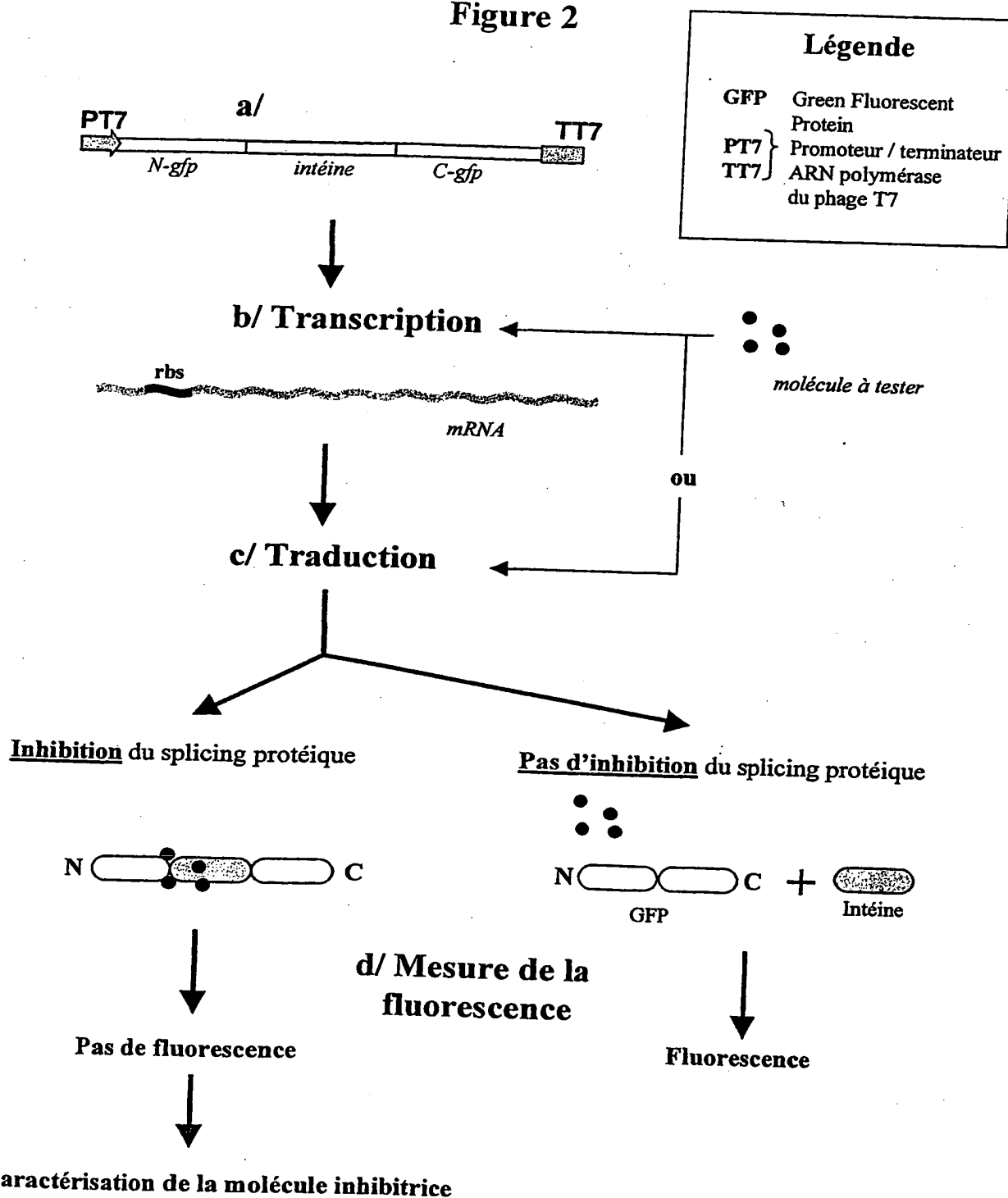


Figure 2

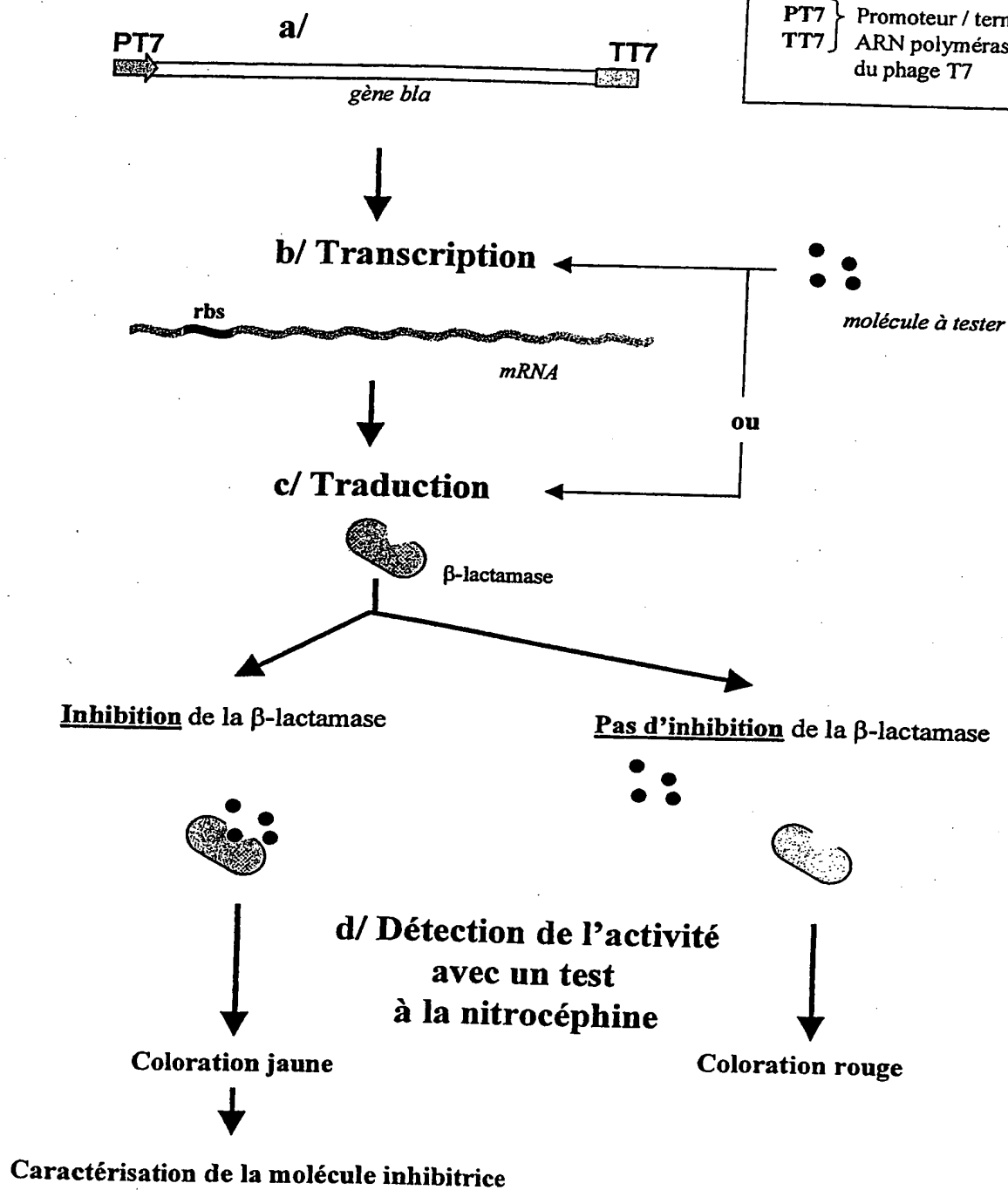
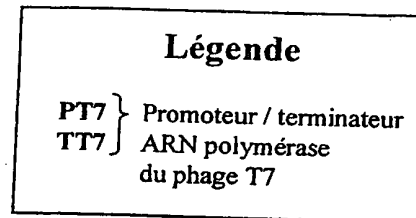
| | |
|-----------|----------------|
| APPROVED | O.G. FIG. |
| BY | CLASS/SUBCLASS |
| DRAFTSMAN | |



3/8

Figure 3

| | |
|-----------|----------------|
| APPROVED | O.G. FIG. |
| BY | CLASS/SUBCLASS |
| DRAFTSMAN | |



| | |
|-----------|----------------|
| APPROVED | O.G. FIG. |
| BY | CLASS/SUBCLASS |
| DRAFTSMAN | |

Fig.5

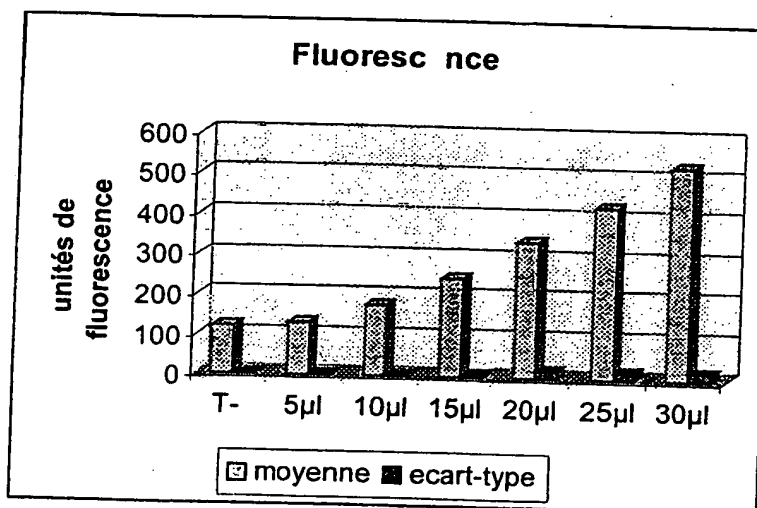


Fig.4

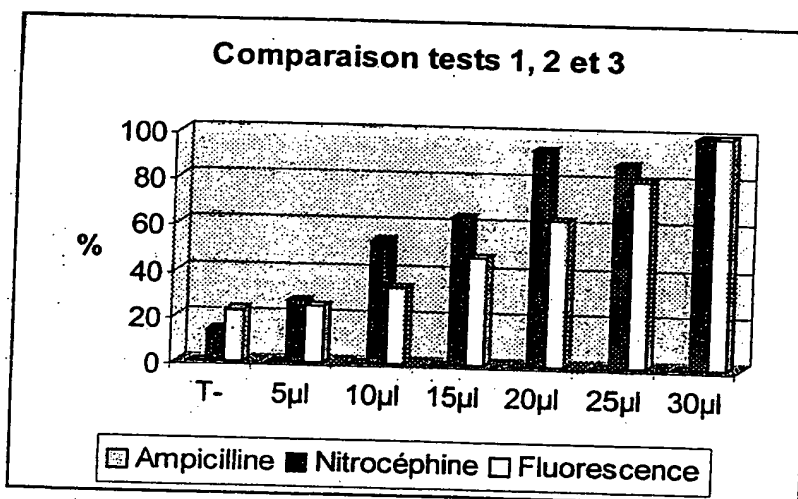
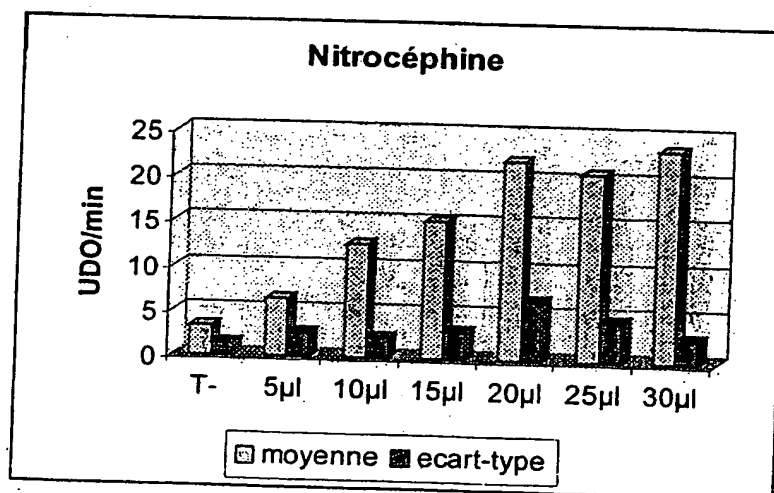


Fig.6



Figures 4 - 5 - 6 : Comparaison de la sensibilité et de la reproductibilité de plusieurs méthodes de détection d'une fonction

| | |
|-----------------------------|----------------|
| APPROVED BY DRAFTSMAN | O.G. FIG. |
| | CLASS/SUBCLASS |

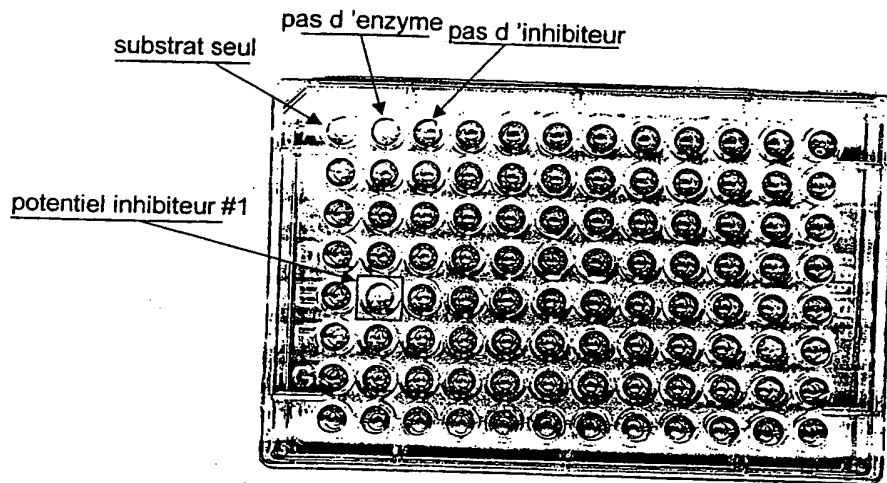


Figure 7 : Effet de différentes substances (0.4µM final) sur la variation d'activité de la beta-lactamase TEM-1

| | |
|----------------|----------------|
| APPROVED BY | O. G. FIG. |
| | CLASS SUBCLASS |
| DRAFTSMAN | |

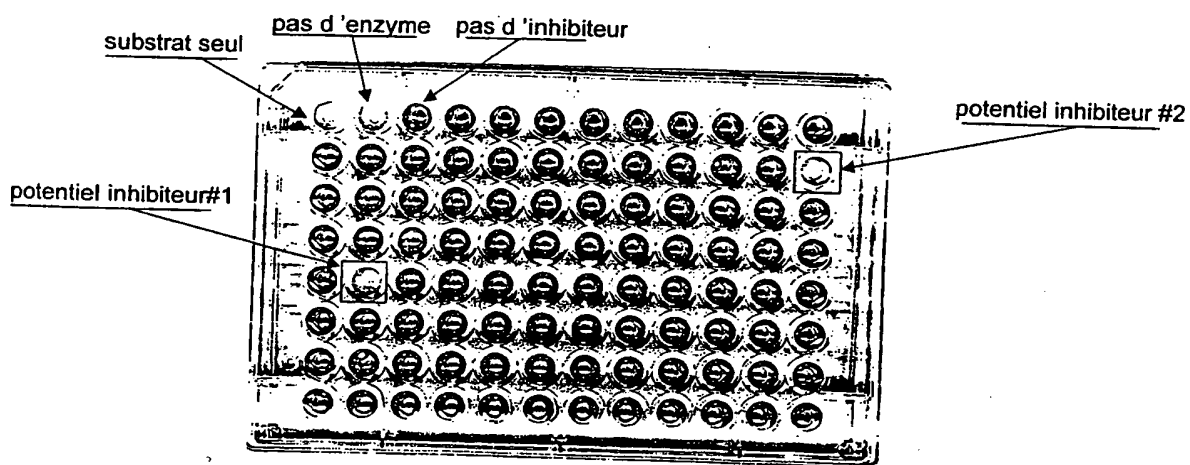


Figure 8 : Effet de différentes substances (21.5µM final) sur la variation d'activité de la beta-lactamase TEM-1

7/8

| | | |
|-----------------------------|----------------|--|
| APPROVED BY DRAFTSMAN | O.G. FIG. | |
| | CLASS/SUBCLASS | |

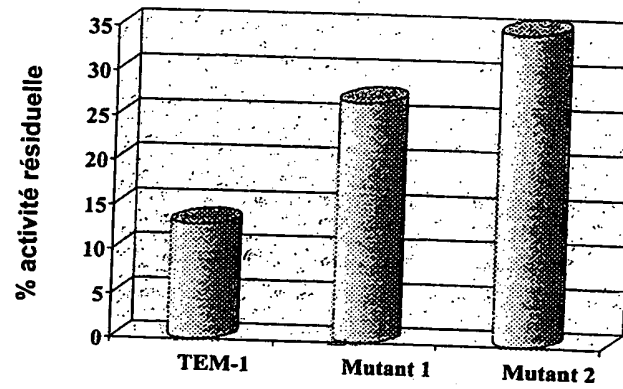


Figure 9 : Caractérisation de la résistance à un inhibiteur

008277 2892260

| | | |
|-----------|-----------|----------|
| APPROVED | O.G. FIG. | |
| | CLASS | SUBCLASS |
| BY | | |
| DRAFTSMAN | | |

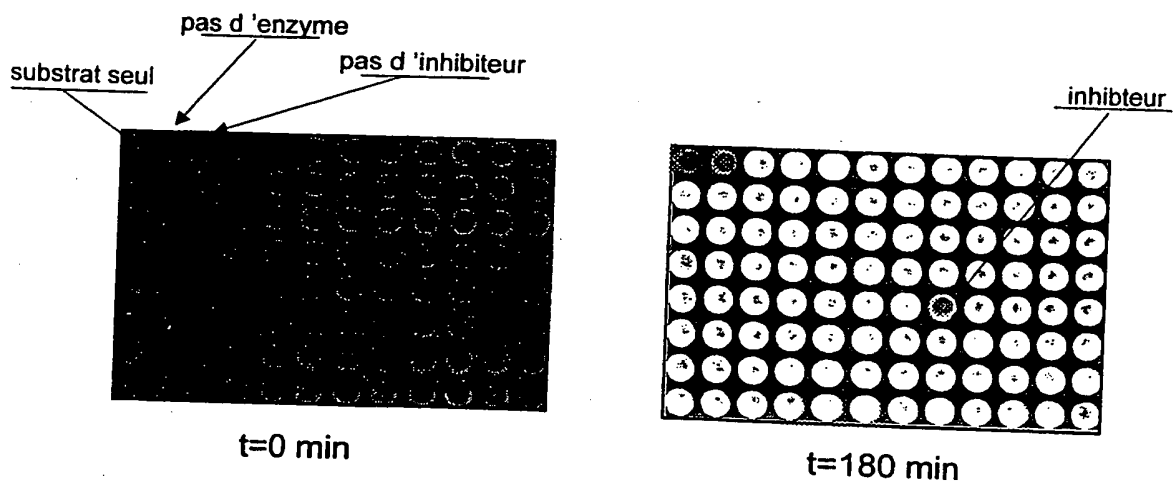


Figure 10 : Effet de différentes substances (2.5µM final) sur la variation d'activité de la protéase du virus HIV-1